# 银含量对多孔镁银合金组织和耐腐蚀性能的影响

朱家乐1,于景媛1\*,李强1,孙旭东2

(1. 辽宁工业大学 材料科学与工程学院,辽宁 锦州 121001; 2. 东北大学 材料科学与工程学院,沈阳 110004)

摘 要: 研究了银含量对粉末冶金技术制备的多孔镁银合金显微组织、物相组成和耐腐蚀性能的影响。SEM 分析表明在多孔镁基体中加入银元素后,多孔合金孔壁的晶粒细化,致密度增加。XRD和 EDS分析表明多孔 Mg-3%Ag合金由单相  $\alpha$ -Mg 固溶体组成,而 Mg-4%Ag合金由  $\alpha$ -Mg和 Mg4Ag两相组成,具有阴极强化性质的 Mg4Ag相呈网状分布在晶界上。耐腐蚀性测试表明,多孔镁银合金比纯多孔镁的耐腐蚀性好。多孔 Mg-3%Ag合金具有最佳的耐腐蚀性能,其自腐蚀电位(-1.4073 V)最大、维钝电流密度(3.4169×10<sup>4</sup> A·cm<sup>-2</sup>)最低,在人体模拟体液中浸泡 48 h 后腐蚀速率(0.162 mm/a)最低,腐蚀后其表面仅有少量的腐蚀产物。

关键词:金属材料;多孔镁银合金;粉末冶金;显微组织;耐腐蚀性能

中图分类号: TG146.3<sup>+</sup>2 文献标识码: A 文章编号: 1004-0676(2018)01-0041-06

## Effect of Ag Contents on Microstructure and Corrosion Resistance of Porous Mg-Ag Alloys

ZHU Jiale<sup>1</sup>, YU Jingyuan<sup>1</sup>\*, LI Qiang<sup>1</sup>, SUN Xudong<sup>2</sup>

(1. College of Materials Science & Engineering, Liaoning University of Technology, Jinzhou 121001, Liaoning, China;

2. School of Materials Science & Engineering, Northeastern University, Shenyang 110004, China)

**Abstract:** The effect of Ag contents on microstructure, phase compositions and corrosion resistance for porous Mg-Ag alloys was studied. SEM images show that the compact degree of the material matrix of porous Mg-Ag alloys increases with Ag contents. XRD and EDS results show that porous Mg-3%Ag alloy is composed of α-Mg phase, and that the Mg-4%Ag alloys are composed of α-Mg and Mg<sub>4</sub>Ag phase which has cathodic strengthening merit and is reticulate in the grain boundary. The porous Mg-Ag alloys have better corrosion resistance than the pure porous Mg, while the porous Mg-3%Ag alloy is the best one. Its maximum self-corrosion potential is -1.4073 V, and its lowest passivation current density is  $3.4169 \times 10^{-4}$  A·cm<sup>-2</sup>. After immersed it in simulated body fluid for 48 h, the porous Mg-3%Ag alloys have the lowest corrosion rate and little corrosion products on its surface.

Key words: metal materials; porous Mg-Ag alloy; powder metallurgy; microstructure; corrosion resistance

多孔镁及合金具有密度低、比强度高、可降解 以及诱导生物细胞生长等特性,是理想的生物医用 材料,常被用作替代骨组织、骨固定等材料,在医 学领域有很大的发展空间和应用前景<sup>[1-3]</sup>。目前常用 的多孔镁植入材料存在的主要问题是:它们在人体 生理环境中降解速率过快,从而导致受伤的骨组织 尚未完全愈合时,植入的多孔镁已发生严重降解,丧失了其应有的强度和机械完整性<sup>[4-6]</sup>。因此提高多孔镁合金的耐腐蚀性,降低其降解速率是研究的热点问题。

银元素具有较高的自腐蚀电位,可降低降解速率,同时还有较好的抑菌作用,可以提高多孔镁合

收稿日期: 2017-07-30

基金项目: 辽宁省自然科学基金-辽宁工业大学联合基金(201602378)、国家自然科学基金(51405215)。

第一作者: 朱家乐, 男, 硕士研究生, 研究方向: 生物材料。E-mail: 1171560798@qq.com

<sup>\*</sup>通讯作者:于景媛,女,副教授,研究方向:生物材料。E-mail: yujingyuan79@163.com

金的生物相容性<sup>[7]</sup>。加入一定量的银可以提高多孔 镁合金的耐蚀性和生物相容性,减缓在人体体液环 境中的降解速率,延长多孔镁合金在人体内的存在 时间,有利于新骨组织的生长。基于此,本文采用 粉末冶金技术,添加不同含量的银元素,以碳酸氢 铵为造孔剂,制备多孔镁银合金。研究银含量对多 孔镁合金显微组织、物相组成及耐腐蚀性的影响。

## 1 实验

#### 1.1 原料

镁粉(唐山威豪镁业有限公司, 粒度为 200 目); 银粉(河北清河县兴业金属材料有限公司, 粒度为 800 目); 造孔剂 NH<sub>4</sub>HCO<sub>3</sub>(天津市凯通化学试剂有限公司)。

## 1.2 样品制备

采用粉末冶金法制备多孔镁银合金。将一定量的镁粉和银粉(银质量分数为 0%、1%、2%、3%和 4%)与造孔剂  $NH_4HCO_3$ (质量分数 15%)均匀混合。将混合好的粉末在 60 MPa 压力下压制成型得到生坯。生坯干燥后,在氩气保护下于  $620^{\circ}$ C烧结 2 h成型,得到多孔镁银合金。样品尺寸为  $45\times10\times10$  mm<sup>3</sup>。

#### 1.3 表征和分析

将烧结后多孔镁银合金样品经打磨抛光超声清洗后干燥备用。采用 S-3000N 扫描电子显微镜(日本日立公司)对各个多孔镁银合金样品显微组织进行观察,采用能谱和面扫描等手段分析多孔基体的元素组成。采用 D/Max-2500/PC 型 X 射线衍射仪(日本理学)对多孔镁银合金的物相组成进行分析。

采用 Ivium stat XRI 型电化学工作站(荷兰 Ivium Technologies)测试多孔镁银试样在人体模拟体液(simulated body fluid, SBF)中的极化曲线。将多孔镁银合金切割成 10×10×3 mm)的试样。打磨抛光清洗之后称量其原始质量。将预处理后试样浸泡在 SBF 中,共计浸泡时间为 48 h,每间隔 12 h 取出浸泡试样吹干后称重,腐蚀速率的计算公式为:

 $V_{\text{CORR}}$ =8.76×10<sup>-4</sup>×( $W_1$ - $W_2$ )/( $A \cdot t \cdot D$ ) (1) 式中, $V_{\text{CORR}}$ 为腐蚀速率,mm/a;  $W_1$ 为初始质量, g;  $W_2$  为浸泡后质量,g; A 为初始面积,cm<sup>2</sup>; t 为浸泡时间,h; D 为镁合金密度,kg/m<sup>3</sup>。

# 2 结果与讨论

## 2.1 银含量对多孔镁银合金显微组织的影响

图 1 为多孔镁银合金(Mg-3%Ag)孔隙的微观形 貌照片。从图 1 中能够看到试样呈现多孔结构,其 孔洞尺寸大多数在 100 μm 以上,少部分于 20~50 μm 之间。孔隙主要来源于造孔剂分解。

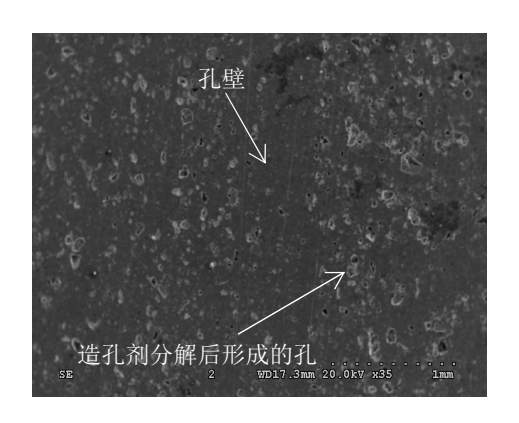
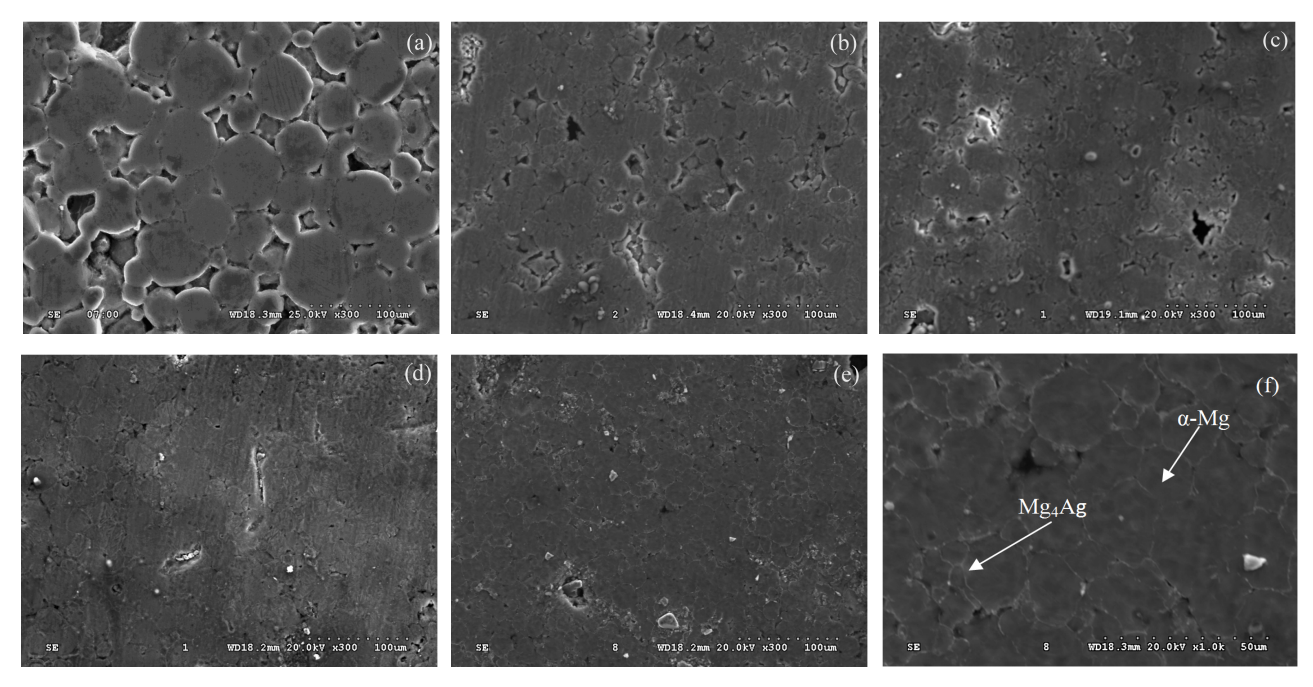


图 1 多孔镁银合金(Mg-3%Ag)试样的扫描电镜图像

Fig.1 SEM image of porous Mg-3%Ag alloy sample

图 2 为纯多孔镁和不同银含量的多孔镁银合金 孔壁附近区域的显微组织照片。

由图 2 可见,银的加入使多孔镁的孔隙减少、变小。单一球形纯镁颗粒(图 2(a))在堆积过程中存在许多球型颗粒堆积形成的细小孔隙,导致纯镁颗粒在烧结过程中致密度较低,形成孔洞缺陷。在纯镁基体中添加合金元素银后(如图 2(b)~(f)),镁和银颗粒由于颗粒尺寸的差异形成良好的颗粒级配,细小的银颗粒添加到镁颗粒堆积的孔隙中,形成密堆排列。烧结过程中银固溶在镁基体中发生晶格畸变,银与空位结合能较大,因此烧结后多孔镁银合金的孔壁处致密度明显提升(如图 2(b)和(c))。随着银含量的增加,镁银二元共晶相的熔点降低。在烧结过程中,试样内会出现局部微融现象,烧结后的多孔镁银合金致密度更高(如图 2(d)和(e))。



(a). Mg; (b). Mg-1%Ag; (c). Mg-2%Ag; (d). Mg-3%Ag; (e). Mg-4%Ag (100  $\mu m$ ); (f). Mg-4%Ag (50  $\mu m$ )

### 图 2 多孔镁银试样孔壁处的扫描电镜图像

Fig.2 SEM images for pore walls of porous Mg-Ag alloys

银元素的添加还起到了细化晶粒的作用。这是 因为银颗粒加入后,进入到镁颗粒之间的孔隙,割 裂了镁颗粒间的聚集,减少了聚集镁颗粒的长大; 同时银固溶使镁基体产生了较大的晶格畸变,固溶 后的银原子多数停留在烧结颈附近,抑制了固溶银 的镁颗粒之间的相互扩散,阻碍了镁晶粒的生长, 降低其晶粒尺寸。 多孔 Mg-4%Ag 合金孔壁晶粒内和晶界处的能谱分析如图 3 所示。

由图 3 可知,晶粒和晶界处均由镁和银两种元素组成,但是晶界处银元素的含量明显比晶粒内部高,这说明银元素从镁基体中析出,形成了一种新相,这与图 2(f)中观察的晶界处有白色呈网状析出物出现相一致。

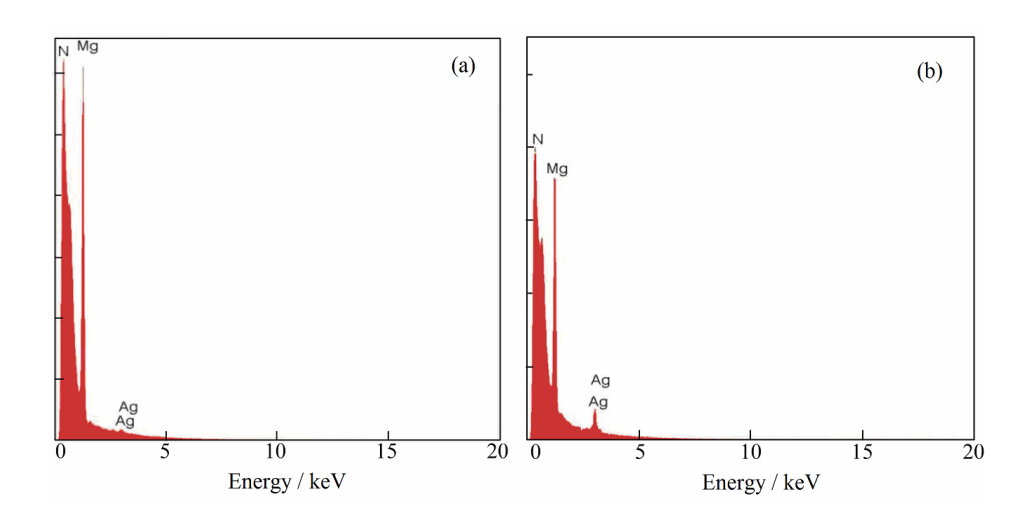


图 3 多孔 Mg-4%Ag 合金孔壁晶粒内(a)和晶界处(b)能谱分析

Fig.3 EDS analysis of grain matrix(a) and boundary(b) of porous Mg-4%Ag alloys

### 2.2 银含量对多孔镁银合金物相组成的影响

图 4 是银含量分别为 3%和 4%的多孔镁银合金

的XRD图谱。

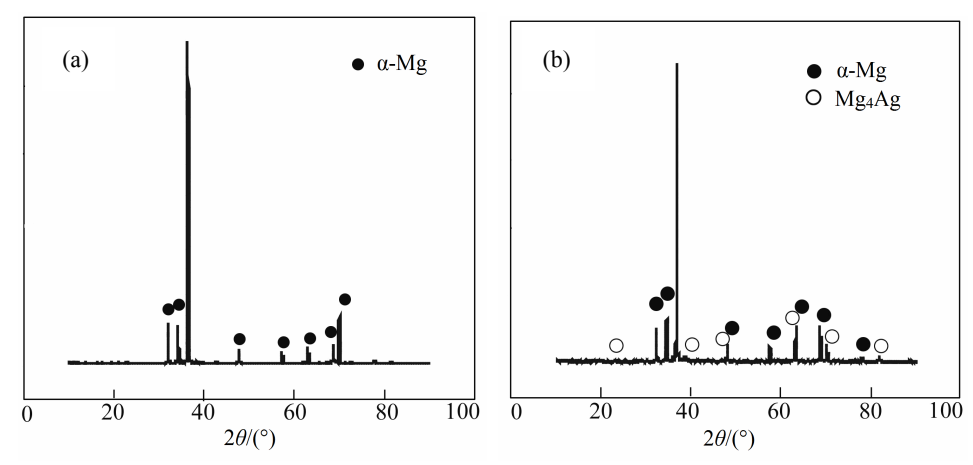


图 4 烧结后多孔 Mg-3%Ag (a)和 Mg-4%Ag(b)合金试样的 XRD 图谱

Fig.4 XRD patterns of sintered porous Mg-3%Ag (a) and Mg-4%Ag(b) alloys

由图 4 可见,当银含量为 3%时,烧结产物内仅具有单相  $\alpha$ -Mg;而银含量为 4%时,烧结产物中出现  $\alpha$ -Mg 和 Mg<sub>4</sub>Ag 相。由镁银合金二元相图<sup>[8]</sup>可知,在共晶温度 472℃时,银元素在镁基体中的极限固溶度为 15.5%,且随温度的降低固溶度逐步降低;当温度降为 200℃时,银原子在镁基体内的固溶度几乎为零。因此当银含量较高时,在随炉冷却过程中,过量的银析出与镁原子形成 Mg<sub>4</sub>Ag 析出相,这一结果与图 2(e)和图 3 的结果一致。

#### 2.3 银含量对多孔镁银合金耐腐蚀性能的影响

不同银含量的多孔镁银合金试样在人体模拟 液内浸泡时的塔费尔极化曲线如图 5 所示,拟合得 出的自腐蚀电位和电流密度值列于表 1;浸泡不同时间的腐蚀速率如图 6 所示;浸泡 72 h 后的扫描电镜图像如图 7 所示。

由图 5 和表 1 可知,多孔镁银试样的自腐蚀电位( $E_{corr}$ )和维顿电流密度( $I_{corr}$ )随着银含量的增多分别呈示出先升高后变小和先变小后升高的变化。当银含量为 3%时,试样的自腐蚀电位和维顿电流密度分别为-1.4073 V 和  $3.4169\times10^{-4}$  A/cm²。较大的自腐蚀电位和较小的电流密度为试样具有较好抗蚀性的表征,表明适量银元素的加入能够增强镁基体的抗蚀性,Mg-3%Ag 合金具有较好的耐腐蚀性。

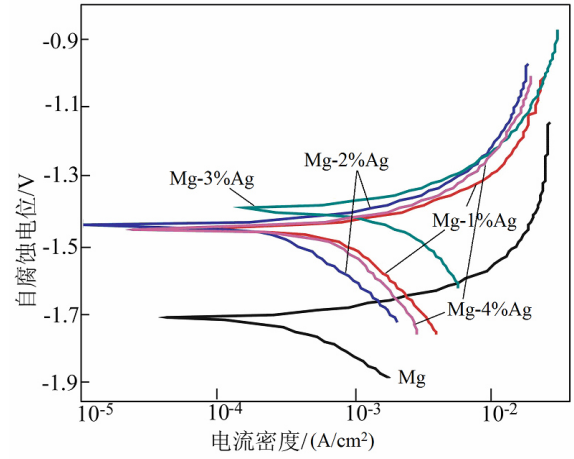


图 5 多孔镁银合金在人体模拟液中浸泡的塔费尔极化曲线 Fig.5 Tafel polarization curves of porous Mg-Ag alloys in SBF

## 表 1 塔费尔极化曲线拟合参数

Tab.1 The fitting parameters of Tafel polarization curves

样品	$E_{corr}$ / V	$I_{corr} / (A/cm^2)$
Mg	-1.7024	5.5183×10 <sup>-4</sup>
Mg-1%Ag	-1.4549	4.4999×10 <sup>-4</sup>
Mg-2%Ag	-1.4464	$4.0048 \times 10^{-4}$
Mg-3%Ag	-1.4073	3.4169×10 <sup>-4</sup>
Mg-4%Ag	-1.4498	3.9239×10 <sup>-4</sup>

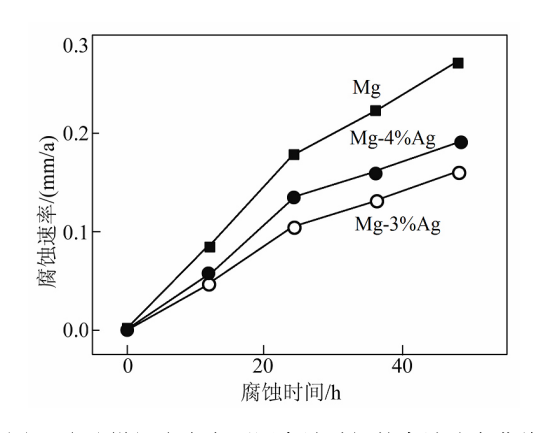


图 6 多孔镁银合金在不同腐蚀时间的腐蚀速率曲线 Fig.6 The corrosion rate of porous Mg-Ag alloys as a function of time

从图 6 中明显可见, 试样在人体模拟液内的腐

蚀速率随着腐蚀时间的增长逐渐变快。纵向对比曲线可知,在同一腐蚀时间,纯镁的腐蚀速率最快,伴随银含量的加大腐蚀速率减小。但是当银含量为4%时,腐蚀速率比 Mg-3%Ag 稍高;浸泡 48 h 后,Mg-3%Ag 的平均腐蚀速率最低,为 0.162 mm/a。银提高耐腐蚀性的原因如下:银原子具有相对高的标准电势(0.78 V),而镁基体的标准电势相对较低(-1.67 V)<sup>[7]</sup>,当银元素添加到镁基体中,可以提高镁基体的电势。此外,银元素的添加使多孔镁合金孔壁处的致密度加大,孔隙度减少。这些因素都使得多孔镁银合金的抗蚀性显著增强。然而当银含量达到 4%时,生成的 Mg4Ag 相在晶界处以网状分布。Mg4Ag 是一种阴极强化相<sup>[7]</sup>,与镁在合金内部形成微型原电池,加速了镁基体的腐蚀,使镁合金的耐腐蚀性降低。

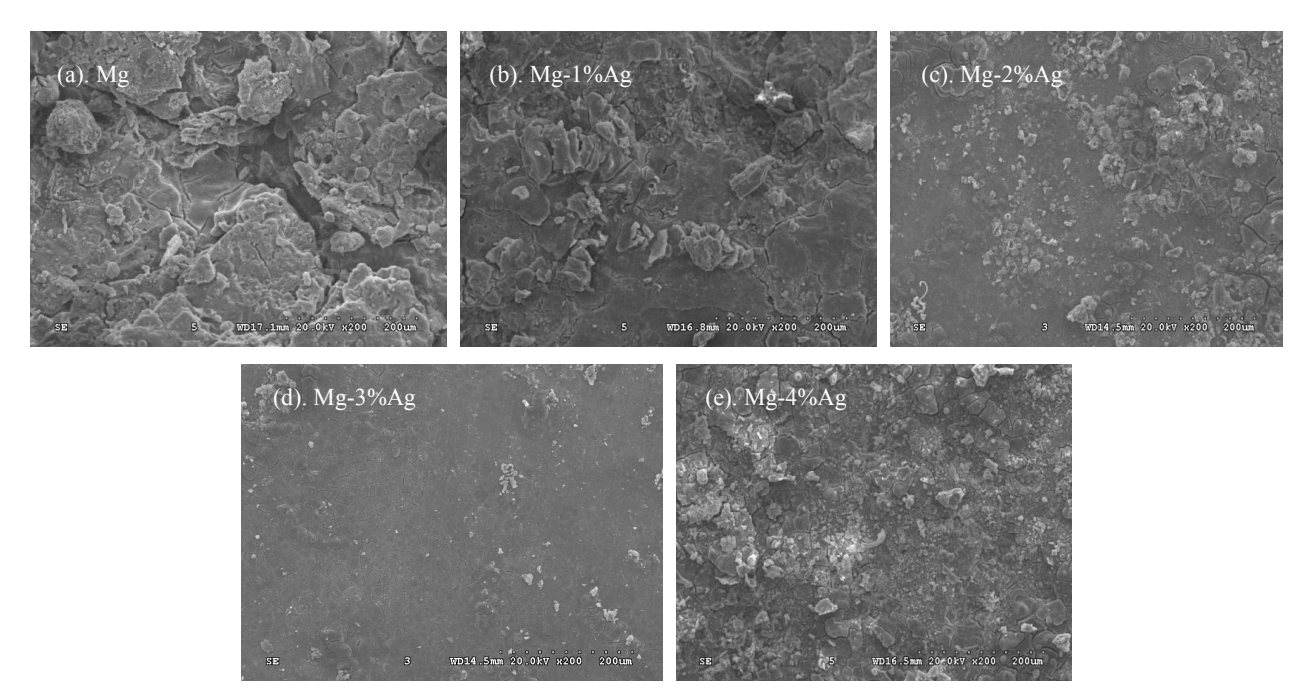


图 7 多孔镁银合金在人体模拟液中浸泡后显微组织照片

Fig.7 SEM images of microstructure of porous Mg-Ag alloys after immersed in SBF

从图 7 中可以看到,在人体模拟液中浸泡 48 h 后,纯多孔镁的腐蚀现象最严重,试样表面被腐蚀产物覆盖;多孔 Mg-1%Ag、Mg-2%Ag 试样表面的腐蚀产物也比较明显;当银含量为 3%时,样品表面没有出现明显的腐蚀产物;与 Mg-3%Ag 合金相比,多孔 Mg-4%Ag 合金表面的腐蚀产物略有增加。这是因为分布在晶界上的阴极强化相 Mg<sub>4</sub>Ag 降低了多孔镁合金的耐腐蚀性。因此多孔 Mg-3%Ag 样品的抗蚀性最佳,进一步验证了前文的分析结果。

### 3 结论

1) SEM 分析表明,与纯多孔镁相比,银含量的增加使多孔镁银合金孔壁的晶粒尺寸减小,孔隙度降低,孔壁处烧结更加致密。XRD 和 EDS 分析表明多孔 Mg-3%Ag 合金晶界由单相 α-Mg 固溶体组成;随着银含量的进一步增加,多孔 Mg-4%Ag 合金晶界出现 Mg<sub>4</sub>Ag 相。

- 2) 在人体模拟液中的极化曲线测试表明,随着银含量的增加,多孔镁银合金呈现出自腐蚀电位( $E_{corr}$ )先升后降、维顿电流密度( $I_{corr}$ )先小后大的变化规律。当银含量为 3%时,试样的自腐蚀电位达到最大( $E_{corr}$ =-1.4073 V),维顿电流密度达到最小( $I_{corr}$ = $3.4169\times10^{-4}$  A·cm<sup>-2</sup>),表明多孔 Mg-3%Ag 合金具有较好的耐腐蚀性。
- 3) 耐腐蚀性实验表明,添加银元素后,多孔镁银合金的腐蚀速率明显降低,其中多孔 Mg-3%Ag合金的耐腐蚀性最优。当腐蚀时间为 48 h,多孔镁的腐蚀速率为 0.273 mm/a,多孔 Mg-3%Ag合金试样的腐蚀速率为 0.162 mm/a,在模拟体液中浸泡 48 h后,多孔镁样品表面几乎被腐蚀产物覆盖,而多孔 Mg-3%Ag合金表面仅有少量的腐蚀产物。
- 4) 机理分析认为,标准电势较高的银加入镁基体中可以提高镁基体的电势,银的添加还使得多孔镁合金致密度加大,增强了多孔镁银合金的抗蚀性。而当银含量达到 4%时,生成的阴极强化相 Mg<sub>4</sub>Ag在晶界处以网状分布,使耐腐蚀性降低。

# 参考文献:

- [1] 李涛, 张海龙, 何勇, 等. 生物医用镁合金研究进展[J]. 功能材料, 2013, 44(20): 2913-2918.
   LI T, ZHANG H L, HE Y, et al. Research progress in biomedical magnesium alloys[J]. Journal of functional
- [2] 于晓明, 谭丽丽, 万鹏, 等. 医用镁及镁合金研究进展 [J]. 中国医疗设备, 2015, 30(9): 1-5.
  YU X M, TAN L Li, WAN P, et al. Progress in research of

Mg and Mg alloys for medical applications[J].

materials, 2013, 44(20): 2913-2918.

- Information of medical equipment, 2015, 30(9): 1-5.
- [3] 张峰峰. 梯度多孔 Mg-Mn 合金的制备及表面改性研究 [D]. 锦州: 辽宁工业大学, 2015.

  ZHANG F F. The preparation of gradient porous Mg-Mn alloys and its surface modification research[D]. Jinzhou: Liaoning University of Technology, 2015.
- [4] 赵立臣. 生物医用纯镁和 Mg-Zn 合金微弧氧化陶瓷涂层的制备及性能研究[D]. 天津: 河北工业大学, 2010. ZHAO L C. Preparation and properties research on mic-arc oxidation ceramic coating on pure magnesium and Mg-Zn alloy for biomedical application[D]. Tianjin: Hebei University of Technology, 2010.
- [5] 郑玉峰, 刘彬, 顾雪楠. 可生物降解性医用金属材料的 研究进展[J]. 材料导报, 2009, 23(1): 1-6.

  ZHENG Y F, LIU B, GU X N. Research progress in biodegradable metallic materials for medical application[J]. Materials review, 2009, 23(1): 1-6.
- [6] 郑玉峰, 顾雪楠, 李楠, 等. 生物可降解镁合金的发展现状与展望[J]. 中国材料进展, 2011, 23(4): 30-43.

  ZHENG Y F, GU X N, LI N, et al. Development and prospects of biodegradable magnesium alloys[J].

  Materials China, 2011, 23(4): 30-43.
- [7] TIE D, FEYERABEND F, MÜLLER W D, et al. Antibacterial biodegradable Mg-Ag alloys[J]. European cells & materials, 2013, 25: 284-298.
- [8] 刘楚明, 朱秀荣, 周海涛. 镁合金相图集[M]. 长沙: 中南大学出版社, 2006.

  LIU C M, ZHU X R, ZHOU H T. Phase atlas of magnesium alloy[M]. Changsha: Central South

University Press, 2006.